

Turbinas Térmicas – Conceitos Básicos

Prof. C. Naaktgeboren, PhD.



Referências

Estas notas de aula adaptam e baseiam-se principalmente em:

[1] Turbine Design and Application (NASA-SP-290). A.J. Glassman (Editor), Lewis Research Center. NASA Scientific and Technical Information Program. Washington, DC. 1994.

Escoamento e Transferência de Energia em Turbinas Térmicas

Sistema de Coordenadas de Análise

Para análise do escoamento e transferência de energia em turbinas, adota-se sistema de coordenadas cilíndrico. As direções são chamadas de:

- axial - paralelo ao eixo de rotação
- radial - através do eixo de rotação
- tangencial - às partes girantes

Pares entre as direções enunciadas formam três diferentes planos, com funções distintas na análise:

- Plano Meridional, que contém as direções axial e radial: quantidades estudadas são valores médios (i) entre pás, ou (ii) circunferenciais. A correspondente análise é chamada de axi-simétrica.
- Plano Circunferencial, que contém as direções axial e tangencial: análises geralmente feitos para um parâmetro constante (e não médio) da direção radial. É o plano no qual são feitos os diagramas de velocidade.

Ainda, com relação à direção principal do escoamento:

- Se radial, como em turbinas radiais, o plano utilizado é o radial-tangencial.
- Se axial, como em turbinas axiais, o plano utilizado é o axial-tangencial.

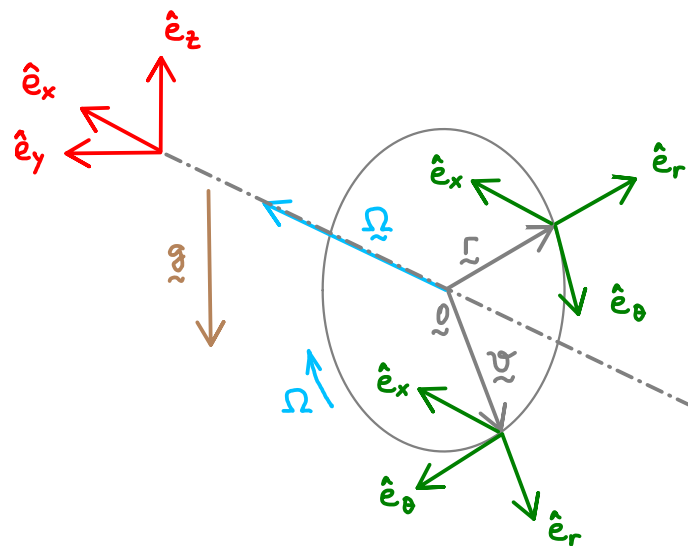


Fig. 1 - Sistemas Coordenados para análise.
Fonte: Adaptação própria de [1].

A Fig. 1 acima ilustra os versores (= vetores unitários) cilíndricos axial, radial e tangencial, respectivamente \hat{e}_x , \hat{e}_r e \hat{e}_θ , tal que $\hat{e}_\theta = \hat{e}_x \wedge \hat{e}_r$, em verde, em posições r e θ , indicadas à partir da origem O , assim como versores Cartesianos \hat{e}_x , \hat{e}_y e \hat{e}_z , em vermelho, e também o vetor velocidade angular Ω , e sua magnitude Ω .

Os versores (\hat{e}_x, \hat{e}_y) formam o plano horizontal, tal que o vetor aceleração da gravidade $\underline{g} = -g\hat{e}_z$, indicado em marrom na Fig. 1.

As relações entre coordenadas são:

$$\begin{aligned} x &= x, & -\infty < x < +\infty \\ y &= r \cos \theta, & r \geq 0 \\ z &= r \sin \theta, & 0 \leq \theta < 2\pi, \text{ e assim} \end{aligned}$$

$$\underline{r} = x\hat{e}_x + r \cos \theta \hat{e}_y + r \sin \theta \hat{e}_z, \text{ e os vetores } \underline{e}_x, \underline{e}_r \text{ e } \underline{e}_\theta:$$

$$\underline{e}_x = \frac{\partial \underline{r}}{\partial x} = \frac{\partial}{\partial x} (x\hat{e}_x + y\hat{e}_y + z\hat{e}_z) = \hat{e}_x, \text{ o qual já é unitário;}$$

$$\underline{e}_r = \frac{\partial \underline{r}}{\partial r} = \cos \theta \hat{e}_y + \sin \theta \hat{e}_z, \text{ o qual também já é unitário; e}$$

$$\underline{e}_\theta = \frac{\partial \underline{r}}{\partial \theta} = -r \sin \theta \hat{e}_y + r \cos \theta \hat{e}_z, \text{ o qual possui magnitude } r; \text{ assim:}$$

$$\begin{aligned} \hat{e}_x &= \underline{e}_x / |\underline{e}_x| = \underline{e}_x = \hat{e}_x \\ \hat{e}_r &= \underline{e}_r / |\underline{e}_r| = \underline{e}_r = \cos \theta \hat{e}_y + \sin \theta \hat{e}_z \\ \hat{e}_\theta &= \underline{e}_\theta / |\underline{e}_\theta| = -\sin \theta \hat{e}_y + \cos \theta \hat{e}_z, \text{ que pode ser re-escrito como:} \end{aligned}$$

$$\begin{bmatrix} \hat{e}_x \\ \hat{e}_r \\ \hat{e}_\theta \end{bmatrix} = \begin{bmatrix} 1 & 0 & 0 \\ 0 & \cos\theta & \sin\theta \\ 0 & -\sin\theta & \cos\theta \end{bmatrix} \begin{bmatrix} \hat{e}_x \\ \hat{e}_y \\ \hat{e}_z \end{bmatrix}, \text{ que é a relação entre versores cilíndricos e Cartesianos.}$$

Ainda, efetuando diferenciais,

$$d\vec{r} = \frac{\partial \vec{r}}{\partial x} dx + \frac{\partial \vec{r}}{\partial r} dr + \frac{\partial \vec{r}}{\partial \theta} d\theta = \vec{e}_x dx + \vec{e}_r dr + \vec{e}_\theta d\theta \rightarrow$$

$$d\vec{r} = \hat{e}_x dx + \hat{e}_r dr + r\hat{e}_\theta d\theta, \text{ fazendo com que}$$

$$(d\ell)^2 = d\vec{r} \cdot d\vec{r} = (dx)^2 + (dr)^2 + r^2(d\theta)^2, \text{ e ainda:}$$

$$dV = |dr\hat{e}_r \cdot (rd\theta\hat{e}_\theta \wedge dx\hat{e}_x)| \rightarrow dV = r dx dr d\theta$$

É bom notar que a expressão para $d\vec{r}$ pode ser utilizada na dedução de diferenciais de área de orientações arbitrárias.

Exemplo: Obtenha o diferencial de área dos planos (i) radial-axial, dA_{xr} , e (ii) tangencial-axial, $dA_{\theta x}$.

Solução: Tem-se que $dA_{xr} = d\vec{r}_x \wedge d\vec{r}_r$, onde $d\vec{r}_x$ e $d\vec{r}_r$ são vetores diferenciais nas direções x - e r -, respectivamente. De $d\vec{r}$, tem-se:

$$dA_{xr} = d\vec{r}_x \wedge d\vec{r}_r = (\hat{e}_x dx) \wedge (\hat{e}_r dr) = \begin{vmatrix} \hat{e}_x & \hat{e}_r & \hat{e}_\theta \\ dx & 0 & 0 \\ 0 & dr & 0 \end{vmatrix} = dx dr \hat{e}_\theta \quad \triangleleft$$

Ainda, tem-se:

$$dA_{\theta x} = d\vec{r}_\theta \wedge d\vec{r}_x = (r\hat{e}_\theta d\theta) \wedge (\hat{e}_x dx) = \begin{vmatrix} \hat{e}_x & \hat{e}_r & \hat{e}_\theta \\ 0 & 0 & r d\theta \\ dx & 0 & 0 \end{vmatrix} = r dx d\theta \hat{e}_r \quad \triangleleft$$

Logo: (i) $dA_{xr} = dx dr \hat{e}_\theta$,

(ii) $dA_{\theta x} = r dx d\theta \hat{e}_r$. \blacksquare

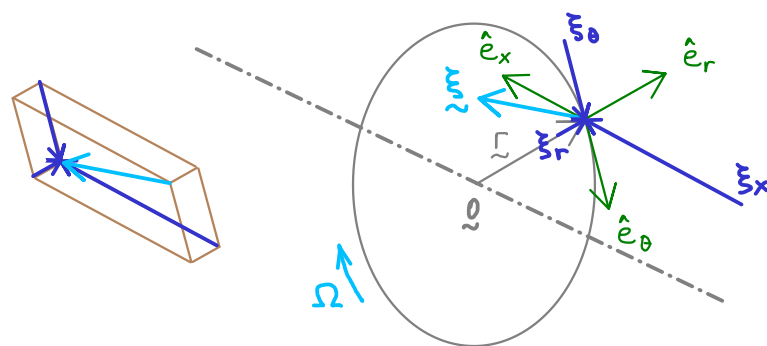


Fig. 2 - Componentes de velocidade.

Fonte: Adaptação própria de [1].

A Fig. 2 acima ilustra um vetor velocidade \vec{v} , na posição \vec{r} em relação à origem O , bem como sua decomposição em componentes cilíndricas \vec{v}_x , \vec{v}_r e \vec{v}_θ , tal que

$$\vec{v} = \vec{v}_x \hat{e}_x + \vec{v}_r \hat{e}_r + \vec{v}_\theta \hat{e}_\theta.$$

Respectivamente, \vec{v}_x , \vec{v}_r e \vec{v}_θ são as componentes axial, radial e tangencial do vetor velocidade \vec{v} .

Vetores de Velocidade

Se um vetor velocidade for escrito com base em um referencial absoluto, indicamos isso por um subscrito "v", ou seja:

$$\vec{v}_v = \vec{v}_{vx} \hat{e}_x + \vec{v}_{vr} \hat{e}_r + \vec{v}_{v\theta} \hat{e}_\theta.$$

Seja \vec{v}_v a velocidade que a pá girante (com Ω) teria na posição \vec{r} , a saber:

$$\begin{aligned} \vec{v}_v &= \vec{\Omega} \wedge \vec{r} = (\Omega \hat{e}_x) \wedge (x \hat{e}_x + r \cos \theta \hat{e}_y + r \sin \theta \hat{e}_z) \\ &= \begin{vmatrix} \hat{e}_x & \hat{e}_y & \hat{e}_z \\ \Omega & 0 & 0 \\ x & r \cos \theta & r \sin \theta \end{vmatrix} = \Omega r (\cos \theta \hat{e}_z - \sin \theta \hat{e}_y) \rightarrow \end{aligned}$$

$$\vec{v}_v = \Omega r \hat{e}_\theta.$$

Analogamente, se o referencial for giratório solidário à pá na posição \vec{r} , velocidades neste referencial serão chamadas "relativas" (à pá) e designadas pelo subscrito "w":

$$\vec{w} = \vec{v} - \vec{v}_v, \text{ a qual é fundamental nos diagramas de velocidade.}$$

Importa notar que em outros textos, incluindo a referência principal destas notas, a notação empregada na relação entre velocidades anterior é: " $\vec{W} = \vec{V} - \vec{U}$ ", ou seja: subscritos tornam-se nas velocidades avaliadas nos diferentes referenciais, alocando-se três símbolos para velocidades — justamente aqueles tradicionalmente utilizados para (i) trabalho, (ii) volume e (iii) energia interna, respectivamente, em Termodinâmica; razão pela qual estas notas empregam ξ para velocidades e subscritos para especificações.

Projeções das Velocidades no Plano Circunferencial ($-x\theta$)

No plano Circunferencial, que contém as direções axial e tangencial, para um certo valor de r , tem-se as seguintes projeções radiais de velocidade:

$$\left. \begin{array}{l} \xi_v = \xi_{vx} \hat{e}_x + \xi_{v\theta} \hat{e}_\theta \\ \xi_u = \Omega r \hat{e}_\theta \end{array} \right\} \begin{array}{l} (\perp r) \\ (\perp r) \end{array} \rightarrow \xi_w = \xi_v - \xi_u \left\} \begin{array}{l} \text{conhecida graficamente por} \\ \text{triângulo de velocidades.} \end{array}$$

$$\xi_w = \xi_{vx} \hat{e}_x + (\xi_{v\theta} - \Omega r) \hat{e}_\theta,$$

que evidencia que velocidades relativas diferem das correspondentes absolutas apenas na componente tangencial, $\xi_{w\theta} = \xi_{v\theta} - \Omega r$.

Diagramas de Velocidade

As grandezas mais importantes nas análises de escoamento e transferência de energia em turbinas são a velocidade do fluido e suas variações. Assim, diagramas de velocidades assistem nas análises e ilustram formatos e tipos de pás e palhetas.

- Velocidades absolutas interessam adentro e através das palhetas de estatores;
- Velocidades relativas interessam através de pás de rotores.

O escoamento através de fileiras de pás rotativas de um rotor pode ser analisado por meio das velocidades relativas e outros parâmetros relativos, de forma similar à análise de escoamento em passagens estacionárias. Tal análise emprega hipóteses bastante simplificadoras, a exemplo de gás ideal com calores específicos constantes, e não faz parte destas notas. O leitor interessado é referido às pp.30-32 de [1].

Cálculos em diagramas de velocidade são feitos:

- Em posições imediatamente à montante e à jusante das várias fileiras de pás.
- Em afastamentos infinitesimais ao longo dos perfis "molhados" pelo fluido.

Ainda, os vetores velocidade representam a média circumferencial do escoamento, não havendo, portanto, variações de tais velocidades (médias) na direção circumferencial, tal que componentes $\xi_{wx} : \xi_{wx}(x)$ e $\xi_{w\theta} : \xi_{w\theta}(x)$, com $\partial \xi_w / \partial \theta = 0$, em um determinado r e $\perp r$, a saber: referente à uma dada projeção no plano circumferencial.

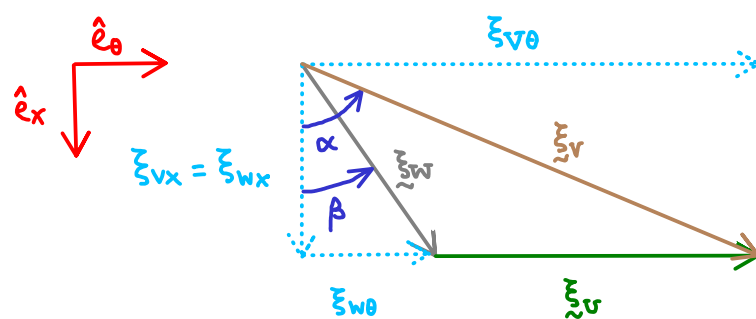


Fig.3 - Diagrama de velocidades mostrando um único triângulo de velocidades.

Fonte: Adaptação própria de [1].

A Fig.3 acima ilustra um simples diagrama de velocidades contendo um único triângulo de velocidades ilustrativo da relação vetorial $\xi_w = \xi_v - \xi_u$. Ângulo α é o absoluto do escoamento, observável em relação a um referencial estático. Já β é o ângulo do escoamento relativo à uma pá móvel (referencial rotativo).

Componentes de velocidade, ξ_{vx} e $\xi_{v\theta}$ para ξ_v ; ξ_{wx} e $\xi_{w\theta}$ para ξ_w ; são ilustrados incluindo a relação $\xi_{vx} = \xi_{wx}$ resultante de ξ_u ter apenas componente tangencial, como demonstrado matematicamente acima via $\xi_w = \xi_{vx} \hat{e}_x + (\xi_{v\theta} - \Omega r) \hat{e}_\theta$, com $\xi_w = \xi_{wx} \hat{e}_x + \xi_{w\theta} \hat{e}_\theta$ e inspecionando.

Pelos triângulos retângulos é possível escrever:

$$\begin{aligned} \xi_v^2 &= \xi_v \cdot \xi_v = \xi_{vx}^2 + \xi_{v\theta}^2, \quad e \\ \xi_w^2 &= \xi_w \cdot \xi_w = \xi_{wx}^2 + \xi_{w\theta}^2. \end{aligned}$$

Ainda, pelas componentes em \hat{e}_θ :

$$\xi_{w\theta} = \xi_{v\theta} - \xi_{u\theta} = \xi_{v\theta} - \Omega r.$$

Convenciona-se que ângulos α e β são positivos no sentido indicado na Fig.3 acima, significando ângulos positivos no sentido de $\underline{\xi}_u$ (dado que $\underline{\Omega} = \Omega \hat{e}_x$ com $\Omega > 0$). Tal convenção, porém, não é universal, havendo casos de inversão da convenção à jusante de fileiras de pás, assim como definição dos ângulos a partir da direção tangencial. Portanto:

⇒ Sempre certifique-se das convenções utilizadas nos diagramas de velocidade feitos por outrem!

Exemplo: Em uma turbina a gás axial as condições de escoamento entre a primeira fileira de palhetas fixas e a primeira fileira de pás móveis são: ângulo relativo de escoamento de 30° , ângulo absoluto de escoamento de 60° e velocidade de pá, $\xi_u = 90 \text{ m/s}$. Determine todas as velocidades e componentes do diagrama de velocidades.

Solução: Busca-se relações trigonométricas para as quantidades faltantes:

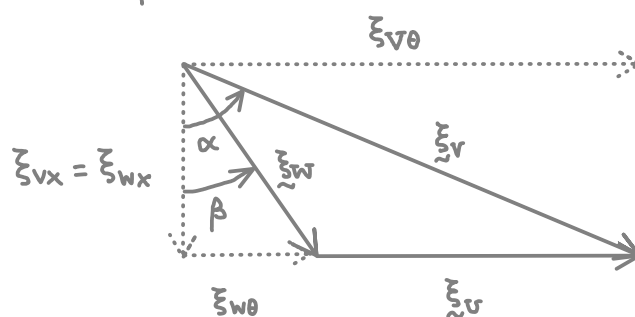
$$\sin \alpha = (\xi_{w\theta} + \xi_u) / \xi_v ; \quad \sin \beta = \xi_{w\theta} / \xi_v \rightarrow$$

$$\sin \alpha - \sin \beta = \xi_u / \xi_v \rightarrow \xi_v = \xi_u / (\sin \alpha - \sin \beta) ;$$

$$\xi_v = (90 \text{ m/s}) / (0,3660) = 245,9 \text{ m/s} \quad \Delta$$

$$\xi_{vx} = \xi_v \cos \alpha = 122,9 \text{ m/s} = \xi_{wx} \quad \Delta$$

$$\xi_w = \xi_{wx} / \cos \beta = 142,0 \text{ m/s} \quad \Delta \quad \text{também } \xi_{w\theta} = 71 \text{ m/s} ; \quad \xi_{v\theta} = 161 \text{ m/s} \quad \blacksquare$$



Continuação 1: Sabendo-se que o plano circumferencial para os dados enunciados baseia-se na posição $\underline{r} = (0; r; 0)$, com raio $r = 0,45 \text{ m}$ sendo o raio médio dos conjuntos de pás e palhetas, as quais estão distribuídos em toda a volta (a saber: desde $\theta = 0 \text{ rad}$ até $\theta = 2\pi \text{ rad}$) e que a altura delas são todas iguais a $0,08 \text{ m}$, determine a rotação da turbina, em várias unidades, bem como a vazão volumétrica do gás.

Solução: Resolve-se para Ω em $\xi_{u\theta} = \Omega r \rightarrow \Omega = \xi_{u\theta} / r = (90 \text{ m/s}) / (0,45 \text{ m}) :$

$$\Omega = 200/\text{s} = 200 \text{ Hz} = 200 \text{ rps} = 12000 \text{ rpm} = 1257 \text{ rad/s} \quad \Delta$$

Uma vez que as quantidades no diagrama de velocidade são médias circumferenciais, a área de escoamento para cálculos de vazão volumétrica é a área total (ao longo dos $2\pi \text{ rad}$ e entre os raios mínimo e máximo, r_1 e r_2 , das pás e palhetas). Tem-se que $\dot{V} = A \cdot \xi_{vx}$, uma vez apenas a componente axial de velocidade é responsável por vazão na turbina axial. Portanto:

$$r_1, r_2 = r \pm l/2, \text{ com } r = 0,45 \text{ m e } l = 0,08 \text{ m} \rightarrow r_1, r_2 = (0,41; 0,49) \text{ m}$$

$$A = \pi(r_2^2 - r_1^2) = 0,2262 \text{ m}^2 \rightarrow \dot{V} = A \cdot \xi_{vx} = (0,2262 \text{ m}^2)(122,9 \text{ m/s}) \rightarrow$$

$$\dot{V} = 27,81 \text{ m}^3/\text{s} \quad \blacksquare$$

Continuação Z: Se o gás que escoa nas condições acima for CO_2 a 3 MPa e 1100 K, determine a vazão mássica correspondente.

Pela Tab A-1 (Çengel, Y. A. e Boles, M. A.; 7ª Ed., p. 908): $M_{\text{CO}_2} = 44,01 \text{ kg/kmol}$;

$R_{\text{CO}_2} = 0,1889 \text{ kJ/kg} \cdot \text{K}$; $T_{\text{cr}} = 304,2 \text{ K}$;

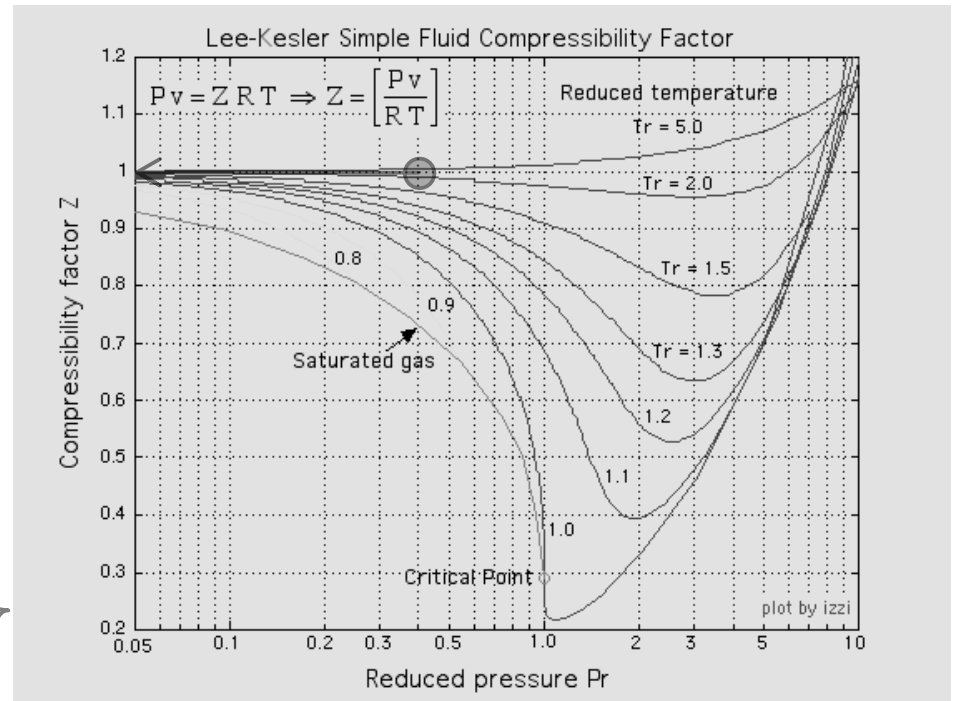
$P_{\text{cr}} = 7,39 \text{ MPa}$; tal que: $T_R = 3,62$; $P_R = 0,406$

Pelo diagrama de Lee-Kesler de compressibilidade generalizada de substâncias puras, lê-se $Z \approx 1$ e portanto o comportamento do CO_2 é ideal. Logo:

$$v = RT/P$$

$$= (0,1889 \text{ kJ/kg} \cdot \text{K})(1100 \text{ K}) / (3000 \text{ kPa}) \rightarrow$$

$$v = 0,06926 \text{ m}^3/\text{kg} \quad \Delta$$



Fonte: https://www.ohio.edu/mechanical/thermo/property_tables/gas/Zfactor.gif

E assim, utilizando $\dot{m} = \dot{V}/v$, tem-se:

$$\dot{m} = (27,81 \text{ m}^3/\text{s}) / (0,06926 \text{ m}^3/\text{kg}) \rightarrow \dot{m} = 401,5 \text{ kg/s} \quad \blacksquare$$

Unidades de Velocidade nas Equações de Transferência de Energia

Termos de energia cinética específica, $\frac{1}{2}\xi^2$, compõem balanços de energia juntamente com termos de trabalho, entalpia específica, e outros, conforme o caso. Quando ξ 's são dados em m/s, a correspondente energia cinética específica é dada em $\text{m}^2/\text{s}^2 = \text{J/kg}$:

$$\frac{\text{J}}{\text{kg}} = \frac{\text{N} \cdot \text{m}}{\text{kg}} = \frac{\cancel{\text{kg}} \cdot \text{m}}{\text{s}^2} \cdot \frac{\text{m}}{\cancel{\text{kg}}} = \frac{\text{m}^2}{\text{s}^2}.$$

Por outro lado, termos de trabalho e entalpia específicos são normalmente expressos em Termodinâmica em unidades de kJ/kg . Para que termos de energia cinética específica sejam expressos em kJ/kg , duas opções são mencionadas:

- $e_c = \xi^2/2000$, com ξ em unidades de m/s (e fator de conversão $1/1000$ explícito);
- $e_c = \frac{1}{2}\xi^2$, com ξ em unidades de $\sqrt{\text{kJ/kg}} = \sqrt{1000} \text{ m/s} \approx 31,62 \text{ m/s} \approx 113,8 \text{ km/h}$.

Estas notas adotam a segunda opção nas expressões que contenham termos usualmente dados em kJ/kg , como trabalho específico e entalpia específica, assim como a primeira opção nos demais casos.



Fonte: Adaptado de <https://doutormultas.com.br/wp-content/uploads/2016/11/multa-por-excesso-de-velocidade-limites-de-velocidade.jpg>

Fig. 4 - Ilustração de valores de limites de velocidade em $\sqrt{\text{kJ/kg}}$ contextualizados em uma sinalização de trânsito (adaptação). Valores originais convertidos eram de 100, 90 e 80 km/h , respectivamente.

Exemplo: Calcule a energia cinética específica de caminhões trafegando no limite de velocidade da Fig. 4 acima, em kJ/kg .

Solução: Tem-se $e_c = \frac{1}{2}\xi^2$ (kJ/kg), portanto $e_c = \frac{1}{2}(0,7\sqrt{\text{kJ/kg}})^2 \rightarrow e_c = 0,245 \text{ kJ/kg} \blacksquare$

Transferência de Energia

A relação básica de transferência de energia para todas as turbomáquinas é relativamente simples, sendo apenas uma forma da Segunda Lei de Newton,

$$\underline{\mathfrak{D}} = m \underline{\dot{\xi}}, \quad (\text{TE1})$$

onde $\underline{\mathfrak{D}}$ (pê) é o vetor força resultante, m é a massa do sistema com vetor aceleração $\underline{\dot{\xi}}$, respectivamente em unidades de N, kg e m/s^2 — aplicada ao fluido que atravessa o rotor.

A mudança em magnitude da componente axial de velocidade, $\Delta \xi_x$, através do rotor dá surgimento a uma força axial, a qual deve ser resistida por mancais axiais. Já a mudança na componente radial de velocidade, $\Delta \xi_r$, dá origem a forças radiais, as quais também devem ser resistidas em mancais radiais. Assim, à parte de efeitos de atrito nos mancais, as variações de velocidade em suas componentes axial e radial não concernem ao movimento angular do rotor.

É a variação em magnitude e em raio das componentes tangenciais de velocidade, $\Delta \xi_\theta$, que corresponde a uma mudança de momento angular no fluido, resultando na desejada transferência de energia.

O torque líquido de eixo, τ , é igual à diferença entre torques de entrada e saída:

$$\tau = \tau_1 - \tau_2 \quad \rightarrow \quad \tau = (\mathfrak{D}_\theta r)_1 - (\mathfrak{D}_\theta r)_2 \quad [\text{N}\cdot\text{m}] \quad (\text{TE2})$$

Aplicando a Eq.(TE1) na direção tangencial e integrando desde $\xi_v=0$ em $t=0$ até $\xi_v=\xi_v$ em $t=t$, com $\dot{m} \equiv dm/dt$ assumido permanente, leva a

$$\mathfrak{D}_\theta = \dot{m} \xi_{v\theta} \quad [\text{N}] \quad (\xi \text{ em } [\text{m/s}]) \quad (\text{TE3})$$

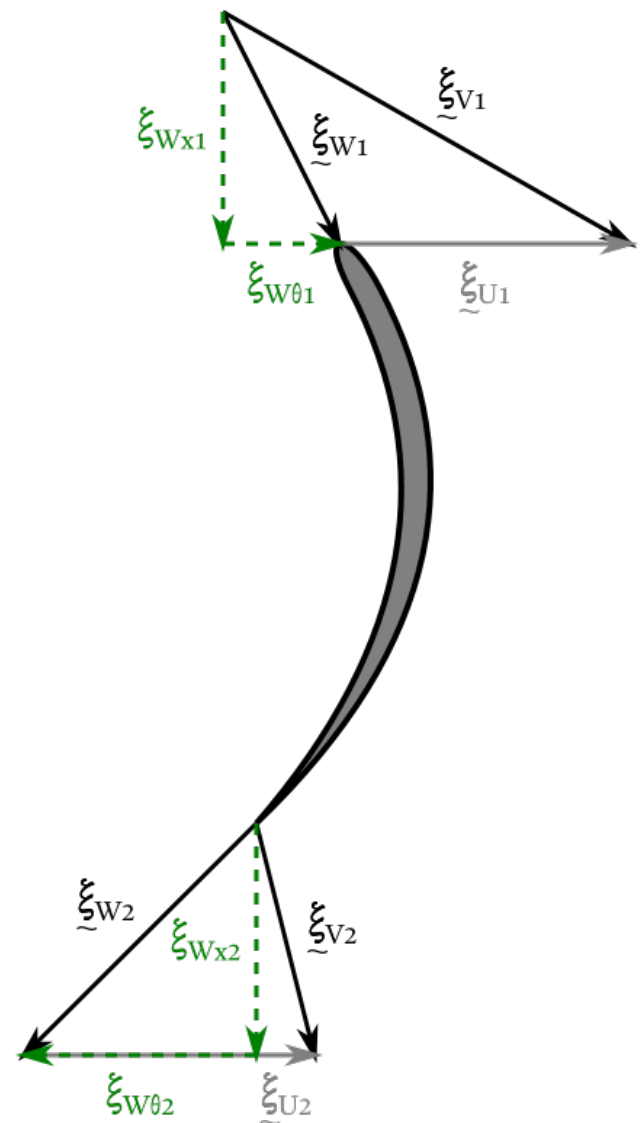


Fig5 - Diagrama de velocidades sobre uma pá
Fonte : Autoria própria.

Portanto o torque fica, pelas Eqs. (TE2) e (TE3):

$$\tau = \dot{m} (\xi_{v\theta 1} r_1 - \xi_{v\theta 2} r_2). \quad [\text{N.m}] \quad (\xi \text{ em } [\text{m/s}]) \quad (\text{TE4})$$

A potência (taxa de trabalho, \dot{W}) fica

$$\dot{W} = \tau \Omega = \dot{m} \Omega (\xi_{v\theta 1} r_1 - \xi_{v\theta 2} r_2), \quad [\text{W}] \quad (\xi \text{ em } [\text{m/s}]) \quad (\text{TE5})$$

substituindo $\Omega r_n = \xi_{un}$ na Eq. (TE5), e ajustando unidades:

$$\dot{W} = \dot{m} w = \dot{m} (\xi_{v\theta 1} \xi_{u1} - \xi_{v\theta 2} \xi_{u2}). \quad [\text{kW}] \quad (\xi \text{ em } [\sqrt{\text{kJ/kg}}]) \quad (\text{TE6})$$

Considerando operação adiabática e utilizando entalpias específicas totais:

$$h_0 \equiv h + e_c = u + P/\sigma + e_c = h + \frac{1}{2} \xi_v^2, \quad [\text{kJ/kg}] \quad (\text{TE7})$$

o balanço de energia no fluido através do rotor fica:

$$w = h_{01} - h_{02} = \Delta h_0 = (\xi_{v\theta 1} \xi_{u1} - \xi_{v\theta 2} \xi_{u2}). \quad [\text{kJ/kg}] \quad (\text{TE8})$$

A Eq. (TE8) é conhecida como **equação de Euler** de turbomáquinas, e é a equação básica de trabalho para todas as turbomáquinas.

A Eq. (TE8) pode ser trabalhada para gerar outra equação de mais cômoda aplicação:

$$\begin{aligned} \xi_w^2 &= \xi_{w\theta}^2 + \xi_{wx}^2 \quad \rightarrow \quad \xi_{w\theta} = \xi_{v\theta} - \xi_u \quad \rightarrow \\ &= \xi_{v\theta}^2 + 2\xi_{v\theta} \xi_u + \xi_u^2 + \xi_{wx}^2 \quad \rightarrow \quad \xi_{wx} = \xi_{vx}, \text{ com } \xi_{vx}^2 = \xi_v^2 - \xi_{v\theta}^2 \quad \rightarrow \\ \xi_{wx}^2 &= \xi_w^2 - \xi_{v\theta}^2 - 2\xi_{v\theta} \xi_u - \xi_u^2 = \xi_{vx}^2 = \xi_v^2 - \xi_{v\theta}^2 \quad \rightarrow \\ \xi_w^2 - \cancel{\xi_{v\theta}^2} - 2\xi_{v\theta} \xi_u - \xi_u^2 &= \xi_v^2 - \cancel{\xi_{v\theta}^2} \quad \rightarrow \\ \xi_{v\theta} \xi_u &= \frac{1}{2} (\xi_v^2 + \xi_u^2 - \xi_w^2) = e_{cv} + e_{cu} - e_{cw}. \quad [\text{kJ/kg}] \end{aligned}$$

Substituindo este resultado na equação de Euler resulta em:

$$\begin{aligned} \Delta h_0 = \Delta e_{cv} + \Delta e_{cu} - \Delta e_{cw} &= \frac{1}{2} [(\xi_{v1}^2 - \xi_{v2}^2) + (\xi_{u1}^2 - \xi_{u2}^2) - (\xi_{w1}^2 - \xi_{w2}^2)] \\ &= h_{01} - h_{02}. \quad [\text{kJ/kg}] \end{aligned} \quad (\text{TE9})$$

Ainda, pela definição de entalpia específica total, h_0 :

$$\Delta h = h_1 - h_2 = \Delta e_{cu} - \Delta e_{cw} = \frac{1}{2} [(\xi_{U1}^2 - \xi_{U2}^2) - (\xi_{W1}^2 - \xi_{W2}^2)] \quad [\text{kJ/kg}] \quad (\text{TE10})$$

Exemplo: Considerando que o diagrama de velocidades da ilustração esteja em escala, com $\xi_{Wx1} = 40 \text{ m/s}$, determine todas as quantidades do diagrama de velocidades em m/s e em $\sqrt{\text{kJ/kg}}$.

Solução: Cada linha equivale a 20 m/s, logo:

$$\xi_{W\theta 1} = 20 \text{ m/s}; \tan \beta_1 = \frac{1}{2} \rightarrow \beta_1 \approx 0,464 \text{ rad} \approx 26,6^\circ$$

$$\xi_{W1} = \sqrt{\xi_{W\theta 1}^2 + \xi_{Wx1}^2} \rightarrow \xi_{W1} = 44,72 \text{ m/s} \quad \Delta$$

$$\xi_{V\theta 1} = \xi_{W\theta 1} + \xi_{U1} = 70 \text{ m/s}; \quad \xi_{Vx1} = \xi_{Wx1} = 40 \text{ m/s}$$

$$\xi_{U1} = 50 \text{ m/s (escala)}; \tan \alpha_1 = \frac{3}{4} \rightarrow \alpha_1 \approx 1,05 \text{ rad} \approx 60,3^\circ$$

$$\xi_{V1} = \sqrt{\xi_{V\theta 1}^2 + \xi_{Vx1}^2} \rightarrow \xi_{V1} = 80,62 \text{ m/s} \quad \Delta$$

Na saída (seção 2), tem-se $\xi_{Wx2} = \xi_{Wx1} = 40 \text{ m/s}$. Também $\xi_{W\theta 2} = -40 \text{ m/s}$, logo:

$$\tan \beta_2 = -1 \rightarrow \beta_2 = -0,785 \text{ rad}; \quad \beta_2 = -45^\circ$$

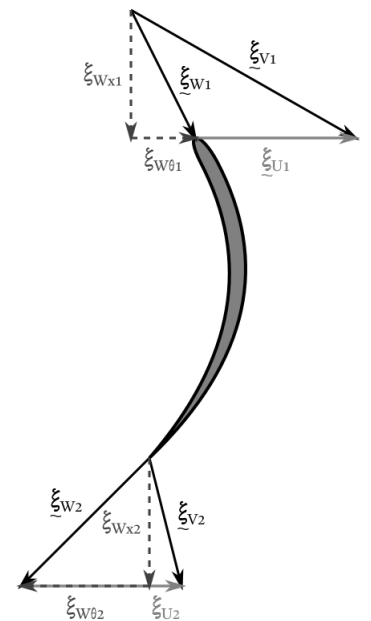
$$\xi_{W2} = \xi_{Wx2} \sqrt{2} \rightarrow \xi_{W2} = 56,57 \text{ m/s} \quad \Delta$$

$$\xi_{V\theta 2} = \xi_{W\theta 2} + \xi_{U2} = (-40 + 50) \text{ m/s} \rightarrow \xi_{V\theta 2} = 10 \text{ m/s}; \quad \xi_{Vx2} = \xi_{Wx2} = 40 \text{ m/s}$$

$$\tan \alpha_2 = \frac{1}{4} \rightarrow \alpha_2 \approx 0,245 \text{ rad} \approx 14,0^\circ; \quad \xi_{V2} = \sqrt{\xi_{V\theta 2}^2 + \xi_{Vx2}^2} = 41,23 \text{ m/s} \quad \Delta$$

Em soma:	$\xi_{U1} = 50 \text{ m/s} = 1,58 \sqrt{\text{kJ/kg}}$	$e_{cu1} = 1,25 \text{ kJ/kg}$	} $\Delta e_{cu} = 0 \text{ kJ/kg}$
	$\xi_{U2} = 50 \text{ m/s} = 1,58 \sqrt{\text{kJ/kg}}$	$e_{cu2} = 1,25 \text{ kJ/kg}$	
	$\xi_{V1} = 80,62 \text{ m/s} = 2,55 \sqrt{\text{kJ/kg}}$	$e_{cv1} = 3,25 \text{ kJ/kg}$	} $\Delta e_{cv} = 2,4 \text{ kJ/kg}$
	$\xi_{V2} = 41,23 \text{ m/s} = 1,30 \sqrt{\text{kJ/kg}}$	$e_{cv2} = 0,85 \text{ kJ/kg}$	
	$\xi_{W1} = 44,72 \text{ m/s} = 1,41 \sqrt{\text{kJ/kg}}$	$e_{cw1} = 1,00 \text{ kJ/kg}$	} $\Delta e_{cw} = -0,6 \text{ kJ/kg}$
	$\xi_{W2} = 56,57 \text{ m/s} = 1,79 \sqrt{\text{kJ/kg}}$	$e_{cw2} = 1,60 \text{ kJ/kg}$	

$\beta_1 = 26,6^\circ \quad \beta_2 = -45^\circ \quad \alpha_1 = 60,3^\circ \quad \alpha_2 = 14,0^\circ \quad \square$



Continuação 1: Calcule o trabalho específico produzido no estágio ilustrado, (i) pela equação de Euler e (ii) pela Eq. (TE9).

Solução: (i) Tem-se: $w = \Delta h_0 = h_{01} - h_{02} = (\xi_{V\theta 1} \xi_{U1} - \xi_{V\theta 2} \xi_{U2}) \rightarrow$
 $w = [(70 \text{ m/s})(50 \text{ m/s}) - (10 \text{ m/s})(50 \text{ m/s})] \times 10^{-3} (\text{kJ/kg})/(\text{m}^2/\text{s}^2) \rightarrow$
 $= (3,5 - 0,5) \text{ kJ/kg} \rightarrow w = 3,0 \text{ kJ/kg} \quad \Delta$

(ii) Tem-se: $w = \Delta h_0 = \Delta e_{cv} + \Delta e_{cu} - \Delta e_{cw} = (0,0 + 2,4 + 0,6) \text{ kJ/kg} \rightarrow w = 3,0 \text{ kJ/kg} \quad \square$

Continuação 2: Recalcule o trabalho específico no caso em que todas as velocidades são multiplicadas pelo fator constante $f = 2$.

Solução: Pela equação de Euler, tem-se, para a configuração original:

$$w = [(70 \text{ m/s})(50 \text{ m/s}) - (10 \text{ m/s})(50 \text{ m/s})] \times 10^{-3} (\text{kJ/kg})/(\text{m}^2/\text{s}^2) ; \text{ portanto, na configuração "f":}$$

$$w_f = [(70f \text{ m/s})(50f \text{ m/s}) - (10f \text{ m/s})(50f \text{ m/s})] \times 10^{-3} (\text{kJ/kg})/(\text{m}^2/\text{s}^2) ; \text{ assim:}$$

$$w_f = f^2 w \rightarrow \text{logo } w_f = 4w = 4(3,0 \text{ kJ/kg}) = 12 \text{ kJ/kg} \quad \triangleleft$$

A mesma relação $w_f = f^2 w$ pode ser obtida de $\Delta e_{c,f} = f^2 \Delta e_c$. ■

Carregamento nas Pás

A curvatura das pás do rotor causam mudança de direção do escoamento. Tal mudança engendra o surgimento de regiões de alta e baixa pressões nas superfícies das pás, conforme indicado na Fig.6 abaixo:

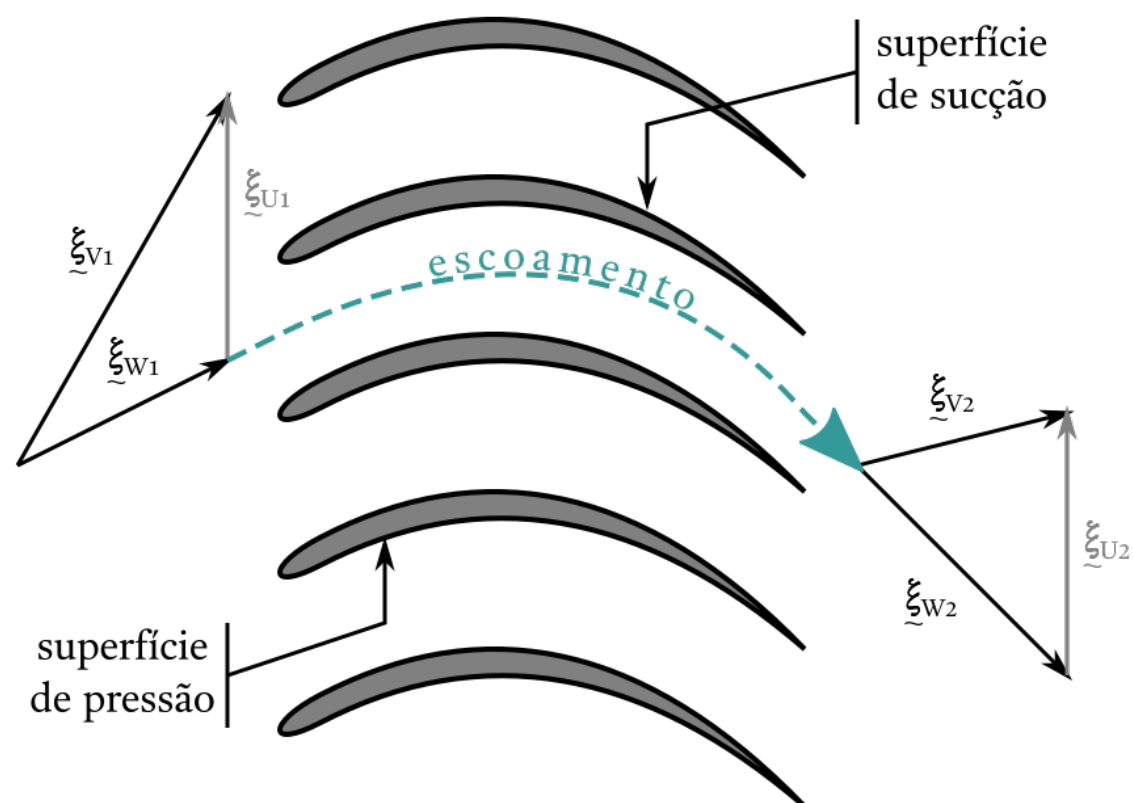


Fig 6 - Esquemático do escoamento através de uma grade de pás móveis com indicação de superfícies (faces) de pressão (côncavas) e de sucção (convexas).

Fonte: Autoria própria

Partindo-se da borda de ataque, na qual se estabelecem condições de estagnação, i.e., $\vec{z}_W = 0$ m/s, até a borda de fuga pelo plano circumferencial, existem dois possíveis caminhos:

- (i) pela superfície de pressão (lado côncavo) do pá, ou
- (ii) pela superfície de sucção (lado convexo) do pá.

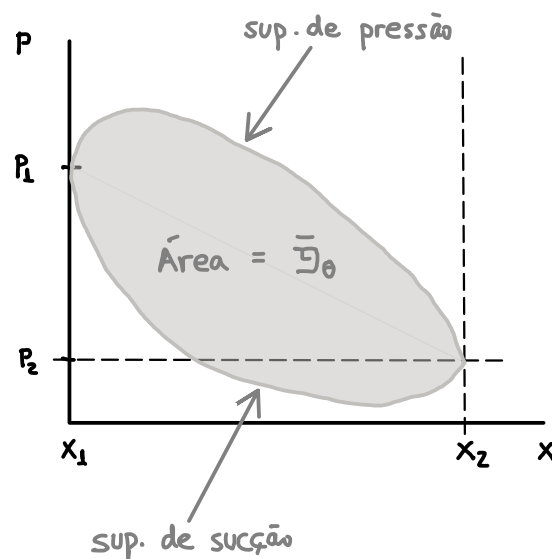


Fig. 7 - Perfis de pressão ao longo da corda axial de pás (de rotor), também conhecidos por diagrama de carga da pá.

Fonte : Autoria própria.

A Fig. 7 acima ilustra um diagrama de carga de pá, ilustrativo do processo de transferência de energia via perfis de pressão estática nas faces de pressão e sucção das pás do rotor. A área entre as curvas é uma força média representativa na direção tangencial, \bar{G}_θ .

Reação (ou Grau de Reação)

Diferentes medidas de reação (de estágio, R_{stg} , de estator, R_{stH} , de fileira de pás de rotor, R_{rot}) são valores que caracterizam as respectivas partes, permitindo sua classificação.

Define-se (grau de) reação de estágio como a razão entre a variação de entalpia pela transferência total de energia em um estágio:

$$R_{stg} \equiv \frac{h_1 - h_2}{w} = \frac{h_1 - h_2}{h_{01} - h_{02}} = \frac{\Delta h}{\Delta h_0} = \frac{\Delta e_{cu} - \Delta e_{cw}}{\Delta e_{cu} + \Delta e_{cu} - \Delta e_{cw}} \rightarrow$$

$$R_{stg} = \frac{(\xi_{u1}^2 - \xi_{u2}^2) - (\xi_{w1}^2 - \xi_{w2}^2)}{(\xi_{v1}^2 - \xi_{v2}^2) + (\xi_{u1}^2 - \xi_{u2}^2) - (\xi_{w1}^2 - \xi_{w2}^2)}$$

Exemplo: Determine o grau de reação do estágio do exemplo anterior nas (i) velocidades originais e (ii) velocidades magnificadas pelo fator constante $f=2$.

Solução: Das variações de energia cinética já calculadas, tem-se: $\Delta e_{cu} = 0 \text{ kJ/kg}$; $\Delta e_{cv} = 2,4 \text{ kJ/kg}$; $\Delta e_{cw} = -0,6 \text{ kJ/kg}$; logo:

$$(i) \quad R_{stg} = \frac{(0,0) - (-0,6)}{(2,4) + (0,0) - (-0,6)} = \frac{0,6}{3,0} = 0,2 \quad \Delta$$

$$(ii) \quad R_{stg} = \frac{(0,0)f^2 - (-0,6)f^2}{(2,4)f^2 + (0,0)f^2 - (-0,6)f^2} = \frac{0,6f^2}{3,0f^2} = 0,2 \quad \Delta$$

Vê-se, portanto, que o fator constante f não impacta a reação do estágio. ■

Estágios com zero grau de reação, $R_{stg} = 0$, caracterizam aqueles nos quais não apresentam variações de entalpia específica, $\Delta h = h_1 - h_2 = 0$, e todo o trabalho executado no estágio resulta da variação de energia cinética específica absoluta, Δe_{cv} . Tais estágios são designados "de impulso".

Para escoamento puramente axial, $r_1 = r_2 \rightarrow \xi_{u1} = \xi_{u2} \rightarrow \Delta e_{cu} = 0$, mudanças na entalpia específica, $\Delta h = h_1 - h_2 = \cancel{\Delta e_{cu}} - \Delta e_{cw} = -\Delta e_{cw}$, necessariamente advém da variação da energia cinética relativa, $\frac{1}{2}(\xi_{w1}^2 - \xi_{w2}^2)$. Assim, em estágios axiais de impulso, $\xi_{w1} = \xi_{w2}$.

Exemplo: Discuta alterações na geometria de saída (borda de fuga) da pá ilustrada — a mesma dos exemplos anteriores — tal que o estágio passe a ser de impulso. As condições de contorno são: • $r_1 = r_2$, • $\xi_{wx2} = \xi_{wx1}$.

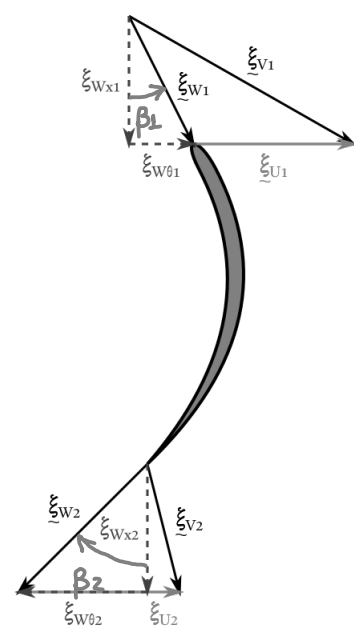
Solução: Um estágio de impulso é caracterizado por $R_{stg} = 0$, logo:

$$\Delta h = h_1 - h_2 = \Delta e_{cu} - \Delta e_{cw} = 0 \rightarrow \xi_{u1} = \xi_{u2} \rightarrow \Delta e_{cu} = 0 \rightarrow$$

$$\Delta e_{cw} = 0 \rightarrow \xi_{w1} = \xi_{w2}. \text{ Como } \xi_{wx2} = \xi_{wx1}, \text{ tem-se:}$$

$$|\xi_{w\theta 2}| = |\xi_{w\theta 1}| \rightarrow \beta_2 = \pm \beta_1 \quad \Delta$$

Para que haja variação em $\xi_{v\theta}$, escolhe-se $\beta_2 = -\beta_1 \rightarrow \xi_{w\theta 2} = -\xi_{w\theta 1} \quad \Delta$



Continuação 1: Calcule o trabalho específico produzido na nova configuração.

Solução: Com a nova geometria de fuga, tem-se:

$$\xi_{v\theta 2} = \xi_{v\theta 1} + \xi_{w\theta 2} = (50 \text{ m/s}) + (-20 \text{ m/s}) \rightarrow$$

$$\xi_{v\theta 2} = 30 \text{ m/s}; \quad \alpha_2 = \arctan(3/4) = 0,644 \text{ rad} = 36,9^\circ$$

$$\xi_{v2} = \sqrt{\xi_{v\theta 2}^2 + \xi_{wx2}^2} = 50 \text{ m/s} = 1,58 \sqrt{\text{kJ/kg}} \quad \Delta$$

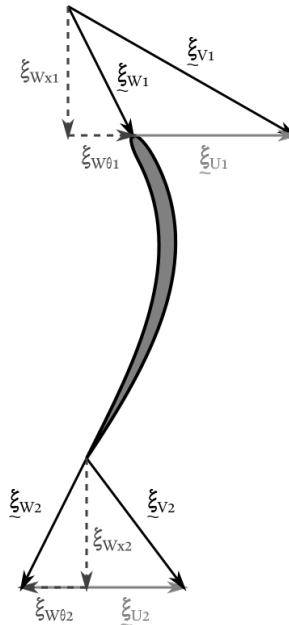
Assim, pela Eq. (TE9), tem-se:

$$w = \Delta h_0 = \Delta e_{cv} + \cancel{\Delta e_{cu}} - \cancel{\Delta e_{cw}} \rightarrow$$

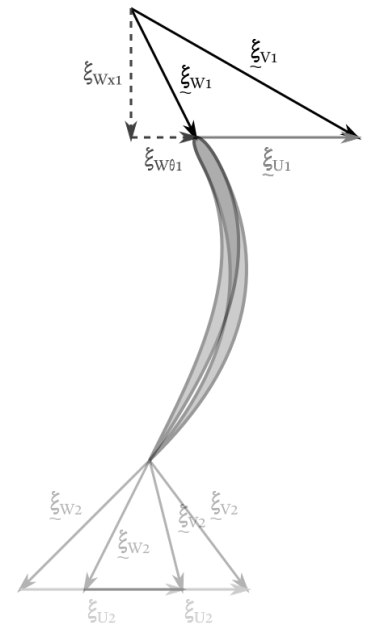
$$w = \Delta h_0 = \Delta e_{cv} = \frac{1}{2}(\xi_{v1}^2 - \xi_{v2}^2) \rightarrow$$

$$w = e_{cv1} - e_{cv2} = (3,25 - 1,25) \text{ kJ/kg} \rightarrow$$

$$w = 2,0 \text{ kJ/kg} \quad \Delta$$



Nova configuração (impulso).



Comparativo entre configurações.

Em suma:	$\xi_{U1} = 50 \text{ m/s} = 1,58 \sqrt{\text{kJ/kg}}$	$e_{cu1} = 1,25 \text{ kJ/kg}$	} $\Delta e_{cu} = 0 \text{ kJ/kg}$
	$\xi_{U2} = 50 \text{ m/s} = 1,58 \sqrt{\text{kJ/kg}}$	$e_{cu2} = 1,25 \text{ kJ/kg}$	
	$\xi_{v1} = 80,62 \text{ m/s} = 2,55 \sqrt{\text{kJ/kg}}$	$e_{cv1} = 3,25 \text{ kJ/kg}$	} $\Delta e_{cv} = 2,0 \text{ kJ/kg}$
	$\xi_{v2} = 50 \text{ m/s} = 1,58 \sqrt{\text{kJ/kg}}$	$e_{cv2} = 1,25 \text{ kJ/kg}$	
	$\xi_{w1} = 44,72 \text{ m/s} = 1,41 \sqrt{\text{kJ/kg}}$	$e_{cw1} = 1,00 \text{ kJ/kg}$	} $\Delta e_{cw} = 0 \text{ kJ/kg}$
	$\xi_{w2} = 44,72 \text{ m/s} = 1,41 \sqrt{\text{kJ/kg}}$	$e_{cw2} = 1,00 \text{ kJ/kg}$	
$\beta_1 = 26,6^\circ \quad \beta_2 = -26,6^\circ \quad \alpha_1 = 60,3^\circ \quad \alpha_2 = 36,9^\circ \quad \blacksquare$			

Alguns definem impulso com base na ausência de variação de pressão no rotor ao invés da ausência de variação de entalpia estática. A definição baseada na pressão é aproximadamente a mesma que aquela apresentada aqui, tendo por única diferença as perdas de carga; assim, no caso isentrópico (sem perda de carga), as definições coincidem.

Reação de estator e de rotor são generalizáveis em reação de fileiras de pás/palhetas, definidas como a razão entre a variação da energia cinética (relativa à fileira) através da fileira de pás/palhetas e a energia cinética (relativa à fileira) na saída da respectiva fileira:

$$R_{fil} \equiv \frac{\Delta e_{c,rel,fil}}{e_{c,rel,saí}}$$

de onde vem a reação de estator, R_{stt} , ($\xi_{U,stt} = 0 \rightarrow \xi_{rel} = \xi_v$)

$$R_{stt} = \frac{\Delta e_{cv, stt}}{e_{cv, sai}} = \frac{\xi_{v1}^2 - \xi_{v0}^2}{\xi_{v1}^2} = 1 - \frac{\xi_{v0}^2}{\xi_{v1}^2},$$

assim como a reação de rotor, R_{rot} , ($\xi_{u, rot} \neq 0 \rightarrow \xi_{rel} = \xi_w$)

$$R_{rot} = \frac{\Delta e_{cw, rot}}{e_{cw, sai}} = \frac{\xi_{w2}^2 - \xi_{w1}^2}{\xi_{w2}^2} = 1 - \frac{\xi_{w1}^2}{\xi_{w2}^2}.$$

Exemplo: Calcule as reações de rotor dos rotores de (i) reação e (ii) impulso dos exemplos anteriores.

Solução: Aplicando-se a definição de reação de rotor:

(i) no rotor de reação exemplificado:

$$\left. \begin{array}{l} \xi_{w1} = 44,72 \text{ m/s} = 1,41 \sqrt{\text{kJ/kg}} \quad ; \quad e_{cw1} = 1,00 \text{ kJ/kg} \\ \xi_{w2} = 56,57 \text{ m/s} = 1,79 \sqrt{\text{kJ/kg}} \quad ; \quad e_{cw2} = 1,60 \text{ kJ/kg} \end{array} \right\} \Delta e_{cw} = -0,6 \text{ kJ/kg} \quad ; \quad \text{logo:}$$

$$R_{rot} = \frac{\Delta e_{cw}}{e_{cw2}} = \frac{-0,6 \text{ kJ/kg}}{1,6 \text{ kJ/kg}} = \frac{-0,6}{1,6} = -0,375 \quad \triangleleft$$

(ii) no rotor de impulso exemplificado:

$$\left. \begin{array}{l} \xi_{w1} = 44,72 \text{ m/s} = 1,41 \sqrt{\text{kJ/kg}} \quad ; \quad e_{cw1} = 1,00 \text{ kJ/kg} \\ \xi_{w2} = 44,72 \text{ m/s} = 1,41 \sqrt{\text{kJ/kg}} \quad ; \quad e_{cw} = 1,00 \text{ kJ/kg} \end{array} \right\} \Delta e_{cw} = 0 \text{ kJ/kg}$$

$$R_{rot} = \frac{\Delta e_{cw}}{e_{cw2}} = \frac{0,0 \text{ kJ/kg}}{1,0 \text{ kJ/kg}} = 0,0 \quad \blacksquare$$

Alguns autores definem reação de fileiras de pás/palhetas por meio de relações entre velocidades análogas às aqui apresentadas em termos de energia cinética específicas, o que leva a expressões análogas com termos de velocidade com expoente unitário, ao invés dos termos quadráticos aqui apresentados.